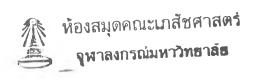
นางสาวณัฐอร ตันสกุล



วิทยานิพนธ์นี้เป็นส่วนหนึ่งของการศึกษาตามหลักสูตรปริญญาเภสัชศาสตรมหาบัณฑิต
สาขาวิชาเภสัชเวท ภาควิชาเภสัชเวทและเภสัชพฤกษศาสตร์
คณะเภสัชศาสตร์ จุฬาลงกรณ์มหาวิทยาลัย
ปีการศึกษา 2556
ลิขสิทธิ์ของจุฬาลงกรณ์มหาวิทยาลัย



# GENE CLONING AND EXPRESSION OF A TRITERPENE SYNTHASE FROM ALANGIUM LAMARCKII

Miss Nattaon Tansakul

A Thesis Submitted in Partial Fulfillment of the Requirements

for the Degree of Master of Science in Pharmacy Program in Pharmacognosy

Department of Pharmacognosy and Pharmaceutical Botany

Faculty of Pharmaceutical Sciences

Chulalongkorn University

Academic Year 2013

Copyright of Chulalongkorn University

Thesis Title	TRITERPENE SYNTHASE FROM ALANGIUM
	LAMARCKII
Ву	Miss Nattaon Tansakul
Field of Study	Pharmacognosy
Thesis Advisor	Associate Professor Wanchai De-eknamkul, Ph.D.
Thesis Co-Advisor	Pimpimon Tansakul, Ph.D.
Accepted by the Faculty	of Pharmaceutical Sciences, Chulalongkorn
	of the Requirements for the Master's Degree
,	·
D 971	
Thy OCH	Dean of the Faculty of Pharmaceutical Sciences
(Assistant Professor Ru	ngpetch Sakulbumrungsil, Ph.D.)
THESIS COMMUTTEE	
THESIS COMMITTEE	
	Chairman
(Professor Kittisak Likhi	
ic di El	Thesis Advisor
(Associate Professor W	'anchai De-eknamkul, Ph.D.)
P. Tanank	Thesis Co-Advisor
(Pimpimon Tansakul, F	Ph D )
·	Examiner
(Khanit Suwanborirux	
Tumban Cha	
(Supakarn Chamni, Ph.	D.) 11 : 11 : 12 : 13 : 14 : 15 : 15 : 15 : 15 : 15 : 15 : 15
(Supakarn Chamni, Ph.	External Examiner
	orapan Sitthithaworn, Ph.D.)

ณัฐอร ตันสกุล : การโคลนยีนและการแสดงออกของไตรเทอร์ปืนชินเธสจากปรู๋. (GENE CLONING AND EXPRESSION OF A TRITERPENE SYNTHASE FROM ALANGIUM LAMARCKII) อ.ที่ปรึกษาวิทยานิพนธ์หลัก: รศ. ดร.วันชัย ดีเอกนามกูล, อ.ที่ปรึกษา วิทยานิพนธ์ร่วม: อ. ภญ. ดร.พิมพ์พิมล ตันสกุล, 84 หน้า.

ไตรเทอร์ปีน เป็นสารในกลุ่มเทอร์ปีนที่มีโครงสร้างที่มีความหลากหลายที่พบได้ในพืช ชั้นสูง ซึ่งสร้างมาจากสารตั้งต้น 2,3-ออกซิโดสควาลีน โดยเอ็นไซม์ไตรเทอร์ปีนซินเธส มีรายงาน การค้นพบสารประกอบไตรเทอร์ปืนในใบของปรู (Alangium lamarckii) เช่น ฟรีเดลิน, บีต้าซิ โตสเตอรอล และ สติกมาสเตอรอล ปรู๋จึงน่าจะเป็นแหล่งในการศึกษาหายีนในกลุ่มไตรเทอร์ปีน ชินเธส จากการโคลนยีนในกลุ่มไตรเทอร์ปืนซินเธสจากใบปรู่ ทำให้ได้โคลนจำนวน 5 โคลน ซึ่ง ได้แก่ AlOSC1, AlOSC3, AlOSC4, AlOSC5 และ AlOSC6 หลังจากนั้น ทั้ง 5 โคลนได้ถูกแทรก ด้วย yeast consensus sequence (HAMAMA) และทำการเปลี่ยนแปลงลำดับนิวคลีโอไทด์ของ กรดอะมิโนลำดับที่ 2 ของแต่ละโคลน จากเดิมที่เป็น TGG ไปเป็น TCC เพื่อเพิ่มการแสดงออกใน ยีสต์ ดังนั้น ในงานวิจัยครั้งนี้ จึงแบ่งกลุ่มตัวอย่างออกเป็น 2 กลุ่ม คือ (1) กลุ่มที่ได้ถูกแทรก yeast consensus sequence และมีลำดับนิวคลีโอไทด์ของกรดอะมิโนลำดับที่ 2 เป็นแบบเดิม คือ TGG และ (2) กลุ่มที่ได้ถูกแทรก yeast consensus sequence และมีการเปลี่ยนแปลง ลำดับนิวคลีโอไทด์ของกรดอะมิโนลำดับที่ 2 เป็น TCC จากนั้น นำตัวอย่างทั้งหมดมาเหนี่ยวนำ ให้มีการแสดงออกในยีสต์ Saccharomyces cerevisae สายพันธุ์ GIL77 จากผลการศึกษาพบว่า ตัวอย่างที่ 35 ซึ่งเป็นโคลน pYES2-AlOSC6 จากกลุ่มที่ 1 และมีความเหมือนในระดับนิวคลีโอ ไทด์กับยีน มัลติฟังค์ชันนอล ไตรเทอร์ปีนชินเธส (CrAS) จาก Cathoranthus roseus ในระดับ 80% สามารถสร้างสารประกอบไตรเทอร์ปืน โมโนแอลกอฮอล ได้ 4 ชนิด คือ ทาแรกซ์ชาสเต อรอล, บีต้าอะไมริน, สูโดทาแรกซ์ซาสเตอรอล และ สารกลุ่มไตรเทอร์ปืน โมโนแอลกอฮอล อีก 1 ชนิดที่ยังไม่ทราบโครงสร้าง ซึ่งมีความสอดคล้องกับองค์ประกอบไตรเทอร์ปีนจากสารสกัดเฮกเซน ของใบปรู นอกจากนี้ ยังพบว่า ตัวอย่างโคลน pYES2-AlOSC6 ตัวอื่นๆ จากกลุ่มที่ 1 มีการสร้าง สารไตรเทอร์ปีน โมโนแอลกอฮอล เช่นเดียวกันกับตัวอย่างที่ 35 ในขณะที่ ตัวอย่างโคลน pYES2-AlOSC6 จากกลุ่มที่ 2 กลับไม่มีการสร้างสารเกิดขึ้น ดังนั้นอาจกล่าวได้ว่า การเปลี่ยนแปลง กรดอะมิโนลำดับที่ 2 ของยืน จาก ทริปโตฟาน ซึ่งถูกแปลรหัสมาจาก TGG ไปเป็นกรดอะมิโน เชอร์รีน ถูกแปลรหัสมาจาก TCC อาจมีผลต่อโครงสร้างของเอนไซม์ และส่งผลให้เอนไซม์ไม่ สามารถสร้างสารประกอบไตรเทอร์ปีน โมโนแอลกอฮอลได้

ภาควิชา เภสัชเวทและเภสัชพฤกษศาสตร์

สาขาวิชา เภสัชเวท

ปีการศึกษา 2556

ลายมือชื่อนิสิต 🛧 ศันการ์ ลายมือชื่อ อ.ที่ปรึกษาวิทยานิพนธ์หลัก 🔶 👈

ลายมือชื่อ อ.ที่ปรึกษาวิทยานิพนธ์ร่วม 3277

# # 5476235533 : MAJOR PHARMACOGNOSY

KEYWORDS: OXIDOSOUALENE CYCLASE; ALANGIUM LAMARCKII; SACCHAROMYCES

CEREVISIAE; TRITERPENES; GENE CLONING

NATTAON TANSAKUL: GENE CLONING AND EXPRESSION OF A TRITERPENE SYNTHASE FROM ALANGIUM LAMARCKII. ADVISOR: ASSOC. PROF. WANCHAI DE-EKNAMKUL, Ph.D., CO-ADVISOR: PIMPIMON TANSAKUL, Ph.D., 84 pp.

Triterpenes belong to the natural product group of terpenoid compounds with structural diversity mostly found in higher plants. The compounds are formed by cyclisation of 2,3-oxidosqualene which is catalyzed by triterpene synthase. Triterpenes from Alangium lamarckii are known to be present in the leaves such as friedelin, ßsitosterol and stigmasterol. Therefore, the leaf part was used in this study as a source of triterpene synthase mRNA. Five triterpene synthase clones, designated AlOSC1, AlOSC3, AlOSC4, AlOSC5 and AlOSC6, were introduced with yeast consensus sequence (HAMAMA) upstream of the sequence and were changed nucleotide codons of the second amino acid from TGG to TCC for increasing expression in yeast. In this study, the samples were classified into 2 groups, (1) TGG group, in which the yeast consensus sequence was introduced up-stream to AIOSC6 and the nucleotide codon at amino acid position 2 was TGG, and (2) TCC group, in which the yeast consensus sequence was introduced up-stream to AlOSC6 and the nucleotide codon at amino acid position 2 was TCC. All the introduced clones were induced to express in Saccharomyces cerevisae strain GIL77, a lanosterol synthase auxotroph. It was found that the sample no.35, pYES2-AlOSC6 construct from the group 1, which showed 80% nucleotide identity to the multifunctional triterpene synthase (CrAS) from Catharanthus roseus producing 4 triterpenes, namely taraxasterol,  $\beta$ -amyrin,  $\Psi$ -taraxasterol and an unknown triterpene mono-alcohol. These triterpenes could also be detected in hexane extracts of A. lamarckii leaves. Moreover, it was found that the samples of (1)-pYES2-AlOSC6 group were able to produce triterpene mono-alcohols related to the sample no.35. In contrast, pYES2-AlOSC6 samples in the group 2 were not found to produce the triterpene mono-alcohols. These results suggested that changing of second amino acid codon, TGG which encodes for tryptophan, to be TCC which encodes for serine had the effect on the protein structure of this multifunctional triterpene synthase and caused no production of triterpene mono-alcohols.

Department:

Pharmacognosy and

Pharmaceutical Botany

Field of Study: Pharmacognosy

Academic Year: 2013

Student's Signature Notice Timental

Advisor's Signature P. Tanahal

Co-Advisor's Signature

#### **ACKNOWLEDGEMENTS**

I would like to sincerely thank my advisor, Associate Professor Dr. Wanchai De-Eknamkul for his great guidance, caring, criticism, wonderful encouragements and kind understanding that help me to accomplish this thesis. My sincere gratitude also to my lovely co-advisor, Dr. Pimpimol Tansakul for her encouragements during my time of working at the Department of Pharmacognosy and Pharmaceutical Botany, Faculty of Pharmaceutical Sciences, Prince of Songkla University, Songkla, Thailand and for her kind suggestions and on using the yeast culture.

I would also like to express my heartedly thanks to Associate Professor Dr. Boonchoo Sritularak and Associate Professor Dr. Rutt Suttisri (Department of Pharmacognosy and Pharmaceutical Botany, Faculty of Pharmaceutical Sciences, Chulalongkorn University) for their kind advices and providing authentic standards of β-amyrin and friedelin.

I am also grateful to the Department of Pharmacognosy and Pharmaceutical Botany, Faculty of Pharmaceutical Sciences. Prince of Songkla University, Songkla, Thailand for providing working spaces during my short visit, with hospitality and friendliness from nicest memorable people and place.

Finally, my most special gratitude to the most adorable couples, my father and mother, for their precious love, kind understanding and supporting that strengthened my driving force throughout the course of this study.

## CONTENTS

		Page
THAI ABSTRACT		iv
ENGLISH ABSTRACT.		V
ACKNOWLEDGEMEN <sup>3</sup>	TS	vi
CONTENTS		vii
LIST OF TABLES		X
CHAPTER I INTRODU	ICTION	1
CHAPTER II HISTORIC	CAL	2
2.1 The dive	ersity of triterpenes	2
2.2 Squaler	ne-hopenecyclase (SHC) from Alicyclobacillus acidocaldarius .	7
2.3 Human	oxidosqualene cyclase	9
2.4 Plant ox	xidosqualene cyclase	12
2.5 Reporte	ed characterized plant OSC	13
2.6 Alangiui	m lamarckii	17
CHAPTER III MATERIA	ALS AND METHODS	20
3.1 Plant m	naterials	20
3.2 General	l chemicals, media and equipments	20
3.3 General	l techniques	22
3.3.1 Ste	erilization	22
3.3.2 Me	edia and solution preparations	22
3.3.	.2.1 Luria-Bertani (LB)	22
3.3.	.2.2 Yeast extract peptone dextrose (YEPD)	23
3.3.	.2.3 Synthetic complete minus uracil (SC-U)	23
3.3.	.2.4 Synthetic complete minus uracil minus glucose (SC-U-G)	24
3.3.	.2.5 Potassium phosphate buffer (KPB)	24
3.3.	.2.6 20% galactose and 20% glucose solution	24
3.3.	.2.7 Ergo-tween stock solution	24
3.3.	.2.8 Hemin stock solution	24

	Page
3.3.2.9 Solutions for plasmid extraction using alkaline lysis method	24
3.3.3 Agarose gel electrophoresis	25
3.4 cDNA cloning of oxidosqualene cyclase gene from Alangium lamarci	kii
leaves	25
3.4.1 RNA preparation	25
3.4.2 First strand cDNA synthesis by RT-PCR	26
3.4.3 PCR amplification	27
3.4.4 Plasmid ligation	28
3.4.5 E. coli competent cell preparation and plasmid transformation.	28
3.4.6 Plasmid extraction and sequencing	29
3.5 Functional expression of OSC genes from A. larmarckii in yeast	31
3.5.1 Preparation of PCR products for p-YES2 ligation	31
3.5.2 Ligation of pYES2-AlOSC plasmid and plasmid preparation for year	east
transformation	33
3.5.3 Transformation and functional expression of cDNA in yeast	36
3.5.4 OSC product analysis	38
3.6 Triterpenoid analysis in Alangium larmarckii leaves	39
3.6.1 Sample preparation	39
3.6.2 Compound isolation and detection	39
CHAPTER IV RESULTS AND DISCUSSION	41
4.1 cDNA cloning of oxidosqualene cyclase gene from Alangium lamarc	:kii
leaves	41
4.2 Functional expression of cDNA in yeast GIL77	42
4.3 Yeast consensus sequence and OSC protein expression	49
4.4 Triterpenoid analysis in Alangium larmarckii leaves	54
CHAPTER V CONCLUSION	60
REFERENCES	61
Appendix A	66

		Page
	Appendix B	67
	Appendix C	68
	Appendix D	69
	Appendix E	70
	Appendix F	71
	Appendix G	72
VITA		84

#### LIST OF TABLES

	Page
Table II-1 Reported characterized plant	14
Table III-1 Number labeled samples that separated to codon changing group	34
Table IV-1 Amino acid sequence identity between AlOSCs	42
Table IV-2 DNA sequence identity between AlOSCs	42
Table IV-3 DNA sequence identity between AlOSCs and reported OSCs	42
Table IV-4 Sequencing results of primer introduced yeast consensus sequence.	50

## LIST OF FIGURES

Page
Figure II-1 Triterpene biosynthetic pathways
Figure II-2 The overall steps of triterpenoid cyclisation reaction.
Figure II-3 The similarity of biosynthetic pathways of squalene hopene and
triterpene synthase7
Figure II-4 The structure and active site of squalene hopene cyclase
Figure II-5 The structure and active site of human lanosterol synthase9
Figure II-6 Pre-conformation of the substrates at squalene hopene and triterpene
synthase at active sites10
Figure II-7 The overall step of cyclisation and rerrangement of lanosterol via
protosteryl cation at the active site of human oxidosqualene cyclase 11
Figure II-8 An example of QW motif from a part of amino acid sequence alignment
of 5 oxidosqualene cyclases from Kalanchoe doiagremontiana12
Figure II-9 Aromatic amino acid effect of the cyclisation of triterpenes at the active
site of lupeol synthase and β-amyrin synthase13
Figure II-10 Alangium lamarckii
Figure II-11 The structures of triterpeoid compounds found in <i>A. lamarckii</i> leaves19
Figure III-1 electrophoresis gel under UV light of the plasmid that contained
expected insert after cut-checking with HindIII and XbaI restriction
enzymes was cut with Notl and Xbal restriction enzymes to get the
suitable stricky end and sequence to ligate with pYES232
Figure III-2 insertion check of pYES2-AlOSC plasmid using <i>Hind</i> III and <i>Xba</i> I
restriction enzymes34
Figure III-3 The crude yeast extract was separated by double developing on a TLC
glass plate39
Figure III-4 The crude leaves extract from hexane part was separated by double
developing on a TLC glass plate40
Figure IV-1 AlOSC product from yeast no.1-no.10 on a TLC plate sprayed with
anisaldehyde-sulphuric acid reagent under visual light43

F	Page
Figure IV-2 AlOSC product from yeast no.11-no.40 on a TLC plate sprayed with	
anisaldehyde-sulphuric acid reagent under visual light	44
Figure IV-3 HPLC chromatograms of (A) standard taraxasterol (15.86 min), (B) standard β -amyrin (15.91 min), (C) sample no. 35 and (D) negative	
control pYES2	45
Figure IV-4 The extracted ion chromatogram of fraction 35F1, pYES2 and the standards	46
Figure IV-5 Mass spectrum of the peaks in the extracted ion chromatograms of fraction 35F1	47
Figure IV-6 The stacked plots of extracted ion chromatogram of 35F1 and standards	47
Figure IV-7 The extracted ion chromatogram of fraction 35F2, pYES2 and the	
Figure IV-8 The extracted ion chromatogram of fraction TCC group (15F1 and 25F1), TGG group (10F1 and 30F1), pYES2 and standards	
Figure IV-9 Mass spectrum of the peaks in the extracted ion chromatograms of	
fraction 10F1	52
Figure IV-10 Mass spectrum of the peaks in the extracted ion chromatograms of fraction 30F1	52
Figure IV-11 The stacked plots of extracted ion chromatogram of 10F1 and spiked the internal standards.	
Figure IV-12 The stacked plots of extracted ion chromatogram of 30F1 and spiked the internal standards.	
Figure IV-13 TLC chromatogram of the <i>A. lamarckii</i> leaves extracts	
Figure IV-14 The extracted ion chromatogram of leaves extract fraction f1 and standards	
Figure IV-15 Mass spectrum of the peaks in the extracted ion chromatograms of fraction f1	
Figure IV-16 The stacked plots of extracted ion chromatogram of leaves f1, sample	
35F1 and the standards	
Figure IV-17 The extracted ion chromatogram of leaves extract fraction f2 and friedelin	
Figure IV-18 A rooted phylogenetic tree analysis comparing AlOSCs amino acid	
sequence and reported OSCs from plants	59

#### LIST OF ABBREVIATIONS

bp Base pair

cDNA Complementary deoxyribonucleic acid

°C Degree celsius

DMAPP Dimethylallyl pyrophosphate

DNA Deoxyribonucleic acid

EDTA Ethylenediaminetetraacetic acid

EIC Extracted ion chromatogram

et al. Et alii (latin), and others

EtBr Ethidium bromide

FPP Farnesyl pyrophosphate

FPS Farnesyl pyrophosphate synthase

HPLC High performance liquid chromatography

hr hour

IPP Isopentenyl pyrophosphate

KPB Potassium phosphate buffer

kb Kilo base

LB Luria-Bertani

LC-APCIMS Liquid Chromatography-Atmospheric Pressure Chemical

Ionization Mass Spectrometry

M Molar

mg milligram

min minute

ml milliliter

YEPD

X-gal

μ

mM	millimolar
OD	Optical density
OSC	Oxidosqualene cyclase
PCR	Polymerase chain reaction
psi	Pounds per square inch
qs	Quantum satis (latin), the amount which is needed
RNA	Ribonucleic acid
RT-PCR	Reverse transcription-polymerase chain reaction
rpm	Round per minute
SDS	Sodium dodecyl sulfate
SHC	Squalene-hopenecyclase
SC-U	Synthetic complete minus uracil
SC-U-G	Synthetic complete minus uracil minus glucose
SQE	Squalene epoxidase
SQS	Squalene synthase
sec	Second
TAE	Tris-acetate-EDTA
TLC	Thin layer chromatography
Volt	Voltage
w/v	Weight per volume

Yeast extract peptone dextrose

Microliter

5-bromo, 4-chloro-3-indolyl-β-D-galactopyranoside